

مدل سازی ریاضی فرآیند خشکاندن دانه‌های انار در خشک کن فروسرخ

محمد هادی خوش تقاضا^۱، علی متولی^۲، سعید مینایی^۳، احمد عباس زاده^۴

- ۱- گروه مهندسی مکانیک بیوسیستم، دانشکده کشاورزی، دانشگاه تربیت مدرس
 - ۲- گروه مهندسی مکانیک بیوسیستم، دانشگاه علوم کشاورزی و منابع طبیعی ساری
 - ۳- گروه مهندسی مکانیک بیوسیستم، دانشگاه علوم کشاورزی و منابع طبیعی گرگان

حکیمہ

در این پژوهش، دانه های انار بوسیله خشک کن فرو سرخ خشک گردید. به منظور تخمین و انتخاب یک مدل ریاضی مناسب، ضریب موثر انتشار رطوبت و مقادیر انرژی فعل سازی، آزمایش های خشک کردن دانه انار در چهار سطح سرعت هوا ($0/3$ ، $0/5$ ، $0/7$ و 1 متر بر ثانیه) و شدت تابش (22 ، 31 و 49 وات بر سانتی متر مربع) انجام گرفت. داده های تجربی با انواع مدل های نیمه نظری و تجربی ارزیابی شد و نهایتاً از میان مدل های مورد نظر، مدل میدیلی با توجه به معیار های R^2 ، χ^2 و $RMSE$ به عنوان بهترین مدل انتخاب شد. ضریب موثر انتشار رطوبت دانه های انار بین 10^{-4} تا 10^{-9} متر مربع بر ثانیه بدست آمد. انرژی فعل سازی با استفاده از یک رابطه نمایی بر مبنای رابطه آرینوس محاسبه شد. مقادیر انرژی فعل سازی در روش اول بین ($43/0$ تا $17/1$) وات بر گرم سانتی متر مربع و در روش دوم بین ($72/0$ تا $1/1$) وات بر گرم سانتی متر مربع بدست آمد.

کلید واژگان: سیستم خشک شدن، ضریب موثر انتشار، انرژی فعال سازی، دانه های انار

و ۵۰۰ واتی، سه سطح دما ۳۵، ۴۰ و ۴۵ درجه سلسیوس و سه سطح سرعت هوا ۱، ۱/۲۵ و ۱/۵ متر بر ثانیه انجام گردید. نتایج آزمایش‌ها نشان داد که با افزایش قدرت لامپ در دما و سرعت هوای ثابت، زمان خشکشدن کاهش می‌یابد. همچنین با افزایش سرعت هوا در قدرت ثابت لامپ و دمای ثابت به علت پدیده‌ی خشکشدن سطح محصول زمان خشکشدن افزایش می‌یابد. با استفاده از داده‌های آزمایش و استفاده از معادلات بکار گرفته شده، مدل Page با بیشترین ضریب همبستگی، بهترین مدل برای آزمایش‌ها بود.

افضل و ابی در سال ۱۹۹۹ خصوصیات بنیادی خشک کردن سیب زمینی به روش مادون قرمز را در چهار شدت تابش (۰/۱۲۵، ۰/۲۵۰، ۰/۳۷۵ و ۰/۵۰۰ وات بر سانتی‌متر مربع و برای سه سرعت جریان هوای ۰/۰۵، ۰/۰۳ و ۰/۰۷ متر بر ثانیه، در دو سطح از رطوبت نسبی هوای ۳۶ و ۶۲ درصد بررسی کردند. نتایج آزمایشات نشان داد که آهنگ خشک کردن (درصد رطوبت وزنی محصول نسبت به شدت تابش و سرعت جریان هوای بستگی دارد. همچنین نتایج نشان داد که رطوبت نسبی هوا تاثیری بر نرخ خشک کردن سیب زمینی به روش مادون قرمز ندارد و مدل Page تغییرات رطوبت سیب زمینی در طی خشک کردن به روش مادون قرمز را به خوبی پیش‌بینی می‌کند [۷].

همچنین در تحقیق دیگر، خشک کردن برنج به روش مادون قرمز از خشک کن لرزشی برنج استفاده شده است. آزمایش‌ها با پنج سطح شدت تابش اشعه مادون قرمز (۵۱۴، ۵۲۰، ۲۵۲۰ و ۱۵۰۹ وات بر متر مربع) و چهار سطح عمق بستر محصول (۱۲، ۲۱ و ۲۵ میلی‌متر) انجام شد. نتایج نشان داد که در یک شدت تابش ثابت، با افزایش عمق محصول میزان مصرفی انرژی به ازای تبخیر واحد جرم رطوبت، به علت این که درصد کمتری از انرژی تابشی می‌تواند بدون برخورد به محصول هدر رود، کاهش یافته و در یک عمق ثابت، با افزایش شدت تابش اشعه مادون قرمز، میزان مصرفی انرژی به ازای تبخیر واحد جرم رطوبت، در اثر سرعت بالای خشک شدن محصول، کاهش می‌یابد [۸].

۱- مقدمه

در طی خشکشدن، فرآیند انتقال حرارت و جرم بطور توان اتفاق می‌افتد، یعنی گرما به درون ماده نفوذ کرده و موج بتبخیر رطوبت آن می‌شود و رطوبت بتبخیر شده از منافذ ماده به خارج از آن راه می‌یابد. خشک کردن با استفاده از جریان هوای داغ دارای معایبی از جمله اتلاف انرژی حرارتی و بازده کم دستگاه [۱]، زمان طولانی خشک شدن [۲] و کیفیت پایین و چروکیدگی محصول خشک شده [۳] می‌باشد.

یکی از روش‌های جدید در خشک کردن مواد غذایی، استفاده از انرژی تشعشعی فروسرخ (IR) است. بخشی از پرتوهای فروسرخ تابیده شده به سمت محصول از آن عبور کرده، بخشی از آن منعکس شده و قسمتی از آن توسط محصول جذب شده و تبدیل به انرژی گرمایی می‌شود که دمای محصول را بالا می‌برد [۲]. در خشک کردن با تابش IR، از لامپ مخصوص فروسرخ استفاده می‌شود. در روش تابش، انتقال انرژی از یک منع مولد انرژی و از طریق فضا (خلاء و یا دارای جو) صورت می‌گیرد و گرما از منع در فضا منتشر می‌شود. میزان تابش بستگی به محیط و دمای مطلق سطح تابنده دارد [۴]. در این روش هوای محیط اطراف ماده مرطوب، توسط دمنده یا مکنده‌ای جریان می‌یابد تا ضمنن جلوگیری از اشباع شدن سطح ماده از رطوبت، رطوبت بتبخیر شده را از محیط اطراف خارج کند تا رطوبت برای خارج شدن از ماده با مقاومت کمتری مواجه گردد. از کاربردهای خشک کردن با استفاده از تابش فروسرخ می‌توان به خشک کردن بسیاری از مواد شیمیایی، دارویی و غذایی در صنعت و انجام تست‌های آزمایشگاهی به منظور تعیین مشخصات خشک شدن مواد مختلف، اشاره نمود [۵]. از مزایای خشک کردن فروسرخ افزایش گردایان حرارتی در مدت زمان کوتاه [۲] و کاهش زمان خشک شدن [۲ و ۶] می‌باشد.

شارما و همکاران به بررسی و مدل سازی ریاضی خشک شدن لایه نازک پیاز به روش ترکیبی جریان هوا و تابش مادون قرمز پرداختند [۶]. آزمایش‌ها در سه سطح قدرت لامپ ۳۰۰، ۴۰۰

EK-3000i، (A&D, Japan) ، اندازه‌گیری دمای محیط با دماسنج (TM-925، Lutron, Taiwan)، سرعت هوا با بادسنج (YK,80AM, Lutron, Taiwan) رطوبت با رطوبت‌سنج (Testo, 400, Germany) انجام شد. برای تولید پرتوهای فروسرخ از لامپ‌های اسram با قدرت ۲۵۰ وات و شدت جریان ۲۲۰ ولت استفاده شد.

در اکثر پژوهش‌ها، مدل سیتیک خشک کردن بر اساس نسبت رطوبت (MR) بدست آمده است که علت آن کاهش پراکندگی و خوش فرم کردن داده‌ها می‌باشد [۱۴].

$$MR = \frac{M_t - M_e}{M_o - M_e} \quad (1)$$

در رابطه (۱)، MR نسبت رطوبت (بدون بعد)، M_t و M_e به ترتیب میزان رطوبت در هر لحظه از فرآیند خشک کردن، میزان رطوبت تعادلی و میزان رطوبت اولیه بر پایه خشک (d.b.) می‌باشد. با توجه به اینکه معمولاً مقدار M_e در مقایسه با M_t و M_0 عدد کوچکی می‌باشد، اغلب خطای ناشی از در نظر نگرفتن آن نیز بسیار جزئی است [۱۴]. لذا محاسبه نسبت رطوبت دانه‌های انار در طول فرآیند خشک-کردن با رابطه (۲) انجام شد.

$$MR = \frac{M_t}{M_0} \quad (2)$$

برای برآش مدل‌های استاندارد خشک شدن لایه نازک با داده‌های آزمایشی، از محیط برآش منحنی‌های^۳ نرم‌افزار MATLAB 2007 استفاده گردید. برای تعیین بهترین مدل از بزرگترین ضریب تعیین^۴ (R^2)، مریع کای^۵ (χ^2) و ریشه میانگین مربعات خطأ^۶ ($RMSE$) استفاده شد. در ابتدا ۱۴ مدل تجربی را بر داده‌های آزمایشگاهی برآش داده و با توجه به بزرگترین R^2 و کوچکترین $RMSE$ و χ^2 ، هفت مدل با دقت بالا انتخاب شد (جدول ۱).

پژوهشگران زیادی سیتیک خشک شدن محصولات مختلف کشاورزی را با استفاده از تابش پرتوهای فروسرخ برای یافتن بهترین مدل ریاضی بررسی کرده‌اند، که از آن جمله می‌توان به خشک شدن سبزی‌جات [۱]، زیتون [۹]، لایه‌های سیب [۳]، شلتوك [۱۰ و ۱۱] اشاره کرد.

انار را می‌توان بر اساس مزه به دو نوع شیرین و ترش تقسیم کرد. موطن اصلی انار خاور میانه به ویژه ایران می‌باشد بصورتی که نوع ترش مزه آن بطور وحشی در جنگل‌های شمال ایران به فراوانی وجود دارد [۱۲]. به علت ترشی بیش از اندازه، دانه‌های انار ترش را خشک کرده و پس از خشک-کردن، آنها را با دستگاه خرد می‌کنند و با غذا مخلوط کرده و مورد استفاده قرار می‌دهند.

برای انتخاب یک مدل ریاضی مناسب که بتوان بر اساس آن سیتیک خشک شدن محصول مورد نظر را بدست آورد نیاز به یک سری ویژگی‌های فیزیکی و حرارتی محصولات کشاورزی مانند انتقال جرم و حرارت، و ضریب موثر انتشار رطوبت می-باشد تا بتوان به کمک آن یک خشک‌کن فروسرخ با کارایی مناسب طراحی نمود. هدف اصلی این پژوهش بررسی سیتیک خشک شدن و انتخاب بهترین مدل ریاضی برای خشک کردن دانه‌های انار ترش بوسیله خشک‌کن فروسرخ می‌باشد.

۲- مواد و روشها

انار تازه ترش از شهرستان جویبار، استان مازندران (شمال ایران) تهیه شد و تا زمان انجام آزمایش در یخچال در دمای 0°C نگهداری شد. میزان رطوبت اولیه دانه‌های انار، به روش خشک کردن در آون، 333% درصد بر پایه خشک بدست آمد [۱۳].

فرآیند خشک کردن دانه‌های انار در ۴ سطح سرعت جریان هوا ($0/3$ ، $0/5$ ، $0/7$ و 1 متر بر ثانیه) و ۳ سطح تابش فروسرخ ($0/49$ ، $0/31$ و $0/22$ وات بر سانتی‌مترمربع) اجرا شد. توزین نمونه‌های آزمایش به صورت پیوسته در طی

2. Curve fitting
3. Correlation coefficient
4. Chi-square
5. Root mean square error

جدول ۱ مدل‌های مورد استفاده برای برآورد داده‌های تجربی

MR=exp (-kt)	(۱) مدل لوئیس [۱۶]
MR=a exp(-kt)	(۲) مدل هندرسون و پاییس [۱۷]
MR=exp(-kt ⁿ)	(۳) مدل پیچ [۱۸]
MR=a exp(-kt)+(1-a)exp(-ktb)	(۴) مدل لگاریتمی [۱۹]
MR = a exp(-kt) + (1 - a) exp(-kbt)	(۵) تقریب پخش [۱۹]
MR = a exp(-kt) + (1 - a) exp(-gt)	(۶) ورما و همکاران [۲۰]
MR = a exp(-kt ⁿ) + bt	(۷) میدیلی و همکاران [۲۱]

که در آن n تعداد عبارات در نظر گرفته شده از رابطه، t زمان خشک شدن(min)، D_{eff} ضریب انتشار موثر رطوبت (متر مربع بر ثانیه)، r_e شعاع کره (متر) است. رابطه (۷) در مدت زمان‌های طولانی خشک شدن به صورت رابطه (۸) خلاصه می‌شود [۲۴].

$$MR = \frac{6}{\pi^2} \exp\left(-\pi^2 \frac{D_{eff} t}{r_e^2}\right) \quad (8)$$

رابطه (۸) برای بدست آوردن ضریب موثر انتشار رطوبت استفاده شده است. در این مرحله شعاع دانه انار (r_o) ثابت در نظر گرفته می‌شود. با لگاریتم گیری از طرفین رابطه (۸) می‌توان رابطه را به صورت خطی نوشت:

$$\ln(MR) = \ln\left(\frac{6}{\pi^2}\right) - \left(\pi^2 \frac{D_{eff} t}{r_e^2}\right) \quad (9)$$

با رسم لگاریتم طبیعی داده‌های بدست آمده در طول آزمایش نسبت به زمان، خطی با شیب k_1 بدست می‌آید که از مساوی قرار دادن این شیب با ضریب t در رابطه (۹)، ضریب انتشار موثر رطوبت را می‌توان به کمک رابطه (۱۰) محاسبه کرد.

$$k_1 = \frac{\pi^2 D_{eff}}{r_e^2} \quad (10)$$

از آنجایی که دما در خشک کن IR در هنگام کار به طور دقیق قابل اندازه گیری نیست، برای به دست آوردن انرژی فعال سازی باید از شکل اصلاح شده رابطه آرینوس استفاده کرد. شکل اصلاح شده رابطه آرینوس در خشک‌کردن به روش مایکروویو استفاده و انرژی فعال سازی محاسبه گردیده است [۲۵]. اما در روش IR از آنجا که دما مشخص نیست می‌توان مانند روش مایکروویو از ارتباط بین آهنگ ثابت سیستمی

$$R^2 = 1 - \frac{\sum_{i=1}^N (MR_{pred,i} - MR_{exp,i})^2}{\sum_{i=1}^N (\overline{MR}_{pred} - MR_{exp,i})^2} \quad (3)$$

$$\chi^2 = \frac{\sum_{i=1}^N (MR_{exp,i} - MR_{pred,i})^2}{N-m} \quad (4)$$

$$RMSE = \left(\frac{1}{N} \sum_{i=1}^N (MR_{pred,i} - MR_{exp,i})^2 \right)^{\frac{1}{2}} \quad (5)$$

در این رابطه‌ها، $MR_{exp,i}$ نسبت رطوبت تجربی آم m نسبت رطوبت پیشگوئی شده آم، N تعداد مشاهدات و m تعداد ثابت‌های خشک شدن می‌باشد.

میانگین قطر هندسی دانه‌های انار به طور جداگانه حساب شد. برای این منظور حجم ۵۰ عدد دانه انار به روش جابه جایی تولوئن بدست آمد (این عمل در ۳ تکرار انجام شد). سپس با استفاده از حجم کل، حجم یک دانه انار محاسبه شده و آن را تقریباً برابر با حجم کره در نظر گرفته شد و در نهایت شعاع معادل دانه به کمک رابطه (۶) محاسبه گردید [۲۲]. شعاع معادل برای دانه انار ۴/۱۱ میلی متر بدست آمد.

$$v = \frac{4}{3} \pi r_e^3 \quad (6)$$

در شرایط ناپایدار اشکال کروی می‌توان مطابق قانون دوم فیک انتقال رطوبت در مرحله نزولی فرآیند خشک‌کردن را با استفاده از معادله (۷) توصیف نمود [۲۳].

$$MR = \frac{M_t - M_e}{M_o - M_e} = \frac{6}{\pi^2} \sum_{n=1}^{\infty} \frac{1}{n^2} \exp\left(-n^2 \pi^2 \frac{D_{eff} t}{r_e^2}\right) \quad (7)$$

۳- نتایج و بحث

سینتیک خشک شدن

شكل ۱ منحنی های خشک شدن دانه های انار را در سرعت های مختلف جریان هوا و شدت های تابش نشان می دهد. در شروع فرآیند خشک کردن، رطوبت اولیه محصول زیاد بوده و آهنگ از دست دادن رطوبت زیاد است. به تدریج با گذشت زمان، میزان رطوبت محصول کاهش پیدا کرده و در نتیجه سرعت کاهش رطوبت نیز به طور طبیعی کاهش نشان می دهد. عوامل موثر در روش خشک کردن فرو سرخ شدت تابش فروسرخ و سرعت جریان هوا می باشد. در روش تابش مادون قرمز با افزایش سرعت جریان هوا، به علت خنک شدن سطح محصول توسط جریان هوا زمان خشک کردن محصول افزایش می یابد. خنک شدن سطح محصول سبب کاهش گرادیان حرارتی در داخل محصول می گردد و در نتیجه زمان خشک کردن محصول افزایش می یابد. همچنین با افزایش شدت تابش به دلیل افزایش شدت تابش، گرادیان حرارتی محصول افزایش یافته و به دنبال آن آهنگ تبخیر محصول افزایش یافته و زمان خشک شدن کاهش می یابد. نتایج بدست آمده با یافته های [۶، ۷، ۸] مشابه دارد. بهترین مدلی که می تواند سینتیک خشک شدن دانه های انار را توصیف کند با توجه به بزرگترین مقدار میانگین ضریب تعیین (R^2) و کمترین مقادیر میانگین χ^2 و $RMSE$ انتخاب شد. با مقایسه این شاخص ها (جدول ۲) مشخص شد که مدل میدلی مناسب ترین مدل برای توصیف داده های آزمایشگاهی است. افزایش سرعت جریان هوا با نرخ خشک شدن رابطه معکوس دارد و آهنگ پایین خشک کردن دانه های انار در سرعت های بالای جریان هوا به علت پدیده خنک شدن سطح دانه های انار می باشد. در نتیجه با افزایش سرعت جریان هوا، مدت زمان خشک شدن افزایش می یابد. نتایج بدست آمده با یافته های [۶ و ۸] مشابه دارد.

خشک شدن (k) و نسبت وزن نمونه (گرم) به شدت پرتو فروسرخ (وات بر سانتی مربع) به جای دمای هوا استفاده کرد. در این حالت پس از ارزیابی داده ها، با به کار بردن رابطه (۱۱) و رسم مقادیر آهنگ ثابت خشک شدن (k) در مقابل نسبت وزن نمونه (گرم) به شدت پرتو فروسرخ (وات بر سانتی مربع) در نرم افزار MATLAB می توان مقدار انرژی فعال سازی را بدست آورد.

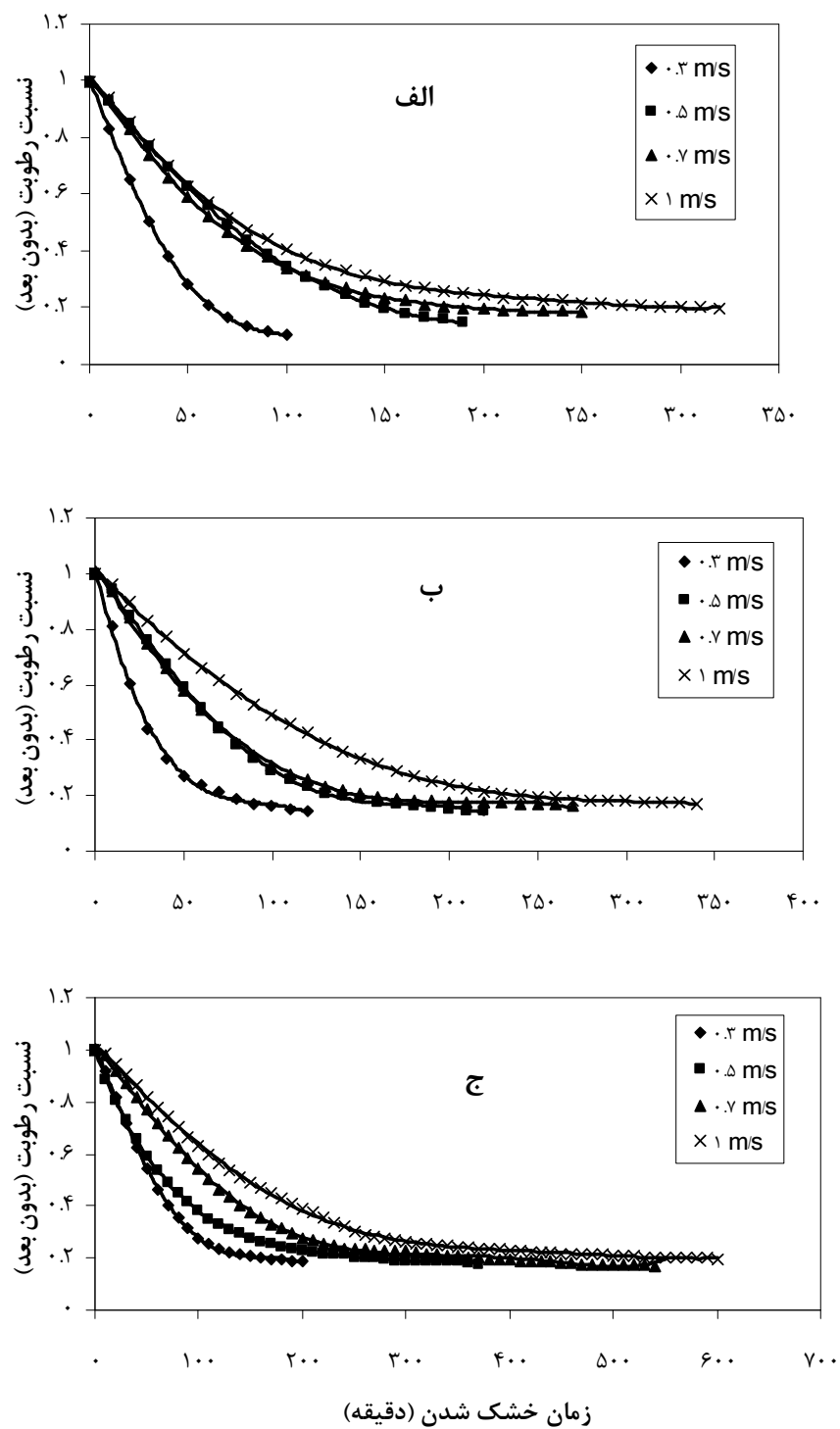
$$k = k_0 \exp\left(-\frac{E_a \cdot m}{R}\right) \quad (11)$$

که در آن، k آهنگ ثابت خشک شدن (min^{-1}) (که از رابطه میدلی بدست می آید)، k_0 عرض از مبدأ رابطه (E_a) (min^{-1})، (R) پرتو انرژی فعال سازی (وات بر گرم سانتی متر مربع)، (m) وزن نمونه ها (گرم) می باشد.

در روش دوم، برای بدست آوردن انرژی فعال سازی از ارتباط بین ضریب موثر انتشار رطوبت و نسبت شدت پرتو فروسرخ به وزن نمونه (گرم سانتی مربع بر وات) نمونه بر اساس مدل آرینوس می تواند استفاده نمود [۲۵].

$$D_{eff} = D_0 \exp\left(-\frac{E_a \cdot m}{R}\right) \quad (12)$$

که در آن، D_{eff} ضریب موثر انتشار رطوبت (متر مربع بر ثانیه)، D_0 عرض از مبدأ (متر مربع بر ثانیه)، E_a انرژی فعال سازی (وات بر گرم سانتی متر مربع) (R) پرتو فروسرخ (وات بر سانتی متر مربع) و (m) وزن نمونه ها (گرم) می باشد. با رسم نمودار در دو حالت بالا و با استفاده از مدل دادالی و همکاران [۲۵] و تحلیل رگرسیونی چند متغیره در محیط نرم افزار MATLAB می توان انرژی فعال سازی و ضرایب (D_0 و k_0) را بدست آورد.



شکل ۱ تاثیر سرعت جریان هوای \blacklozenge \blacktriangledown \blacksquare \blacktriangle و \times ۰/۳، ۰/۵، ۰/۷ و ۱ متر بر ثانیه بر نسبت رطوبت دانه‌های انار در فرآیند خشک شدن بر حسب میزان برآذش داده با مدل میدیلی (خطوط پیوسته) در سه شدت تابش فروسرخ (الف) $22 W cm^{-2}$ (ب) $31 W cm^{-2}$ (ج) $49 W cm^{-2}$

جدول ۲ مقایسه میزان برآذش داده‌های تجربی خشک کردن دانه‌های انار در شرایط مختلف شدت تابش IR و سرعت جریان هوا برای مدل‌های نیمه تجربی

لگاریتمی				هندرسون و پاپس				پیچ				لویس				نام مدل	شدت تابش IR (W cm $^{-2}$)	سرعت باد (m s $^{-1}$)
R 2	χ^2	RMSE	R 2	χ^2	RMSE	R 2	χ^2	RMSE	R 2	χ^2	RMSE	R 2	χ^2	RMSE	شدت تابش IR (W cm $^{-2}$)	سرعت باد (m s $^{-1}$)		
0.986	0.0108	0.0392	0.971	0.0224	0.0566	0.871	0.0096	0.0370	0.979	0.0239	0.0547	0.976	0.0238	0.0547	0/3			
0.976	0.016188	0.0480	0.96	0.02756	0.06275	0.883	0.004167	0.0244	0.912	0.03113	0.06238	0/5			22			
0.975	0.0222	0.049	0.975	0.0219	0.0494	0.995	0.0039	0.0209	0.928	0.0282	0.0531	0/7						
0.962	0.0352	0.0593	0.912	0.0819	0.0905	0.973	0.0252	0.0502	0.914	0.0949	0.0929	1						
0.976	0.0162	0.0481	0.96	0.0276	0.0627	0.965	0.0042	0.0244	0.954	0.0311	0.0624	0/3						
0.985	0.0120	0.0388	0.979	0.0252	0.0561	0.986	0.0072	0.0299	0.964	0.0284	0.0662	0/5			31			
0.971	0.0231	0.0537	0.930	0.0563	0.0839	0.909	0.0096	0.0346	0.921	0.0635	0.0740	0/7						
0.929	0.0508	0.0702	0.902	0.0342	0.0617	0.987	0.000291	0.00057	0.926	0.0547	0.0840	1						
0.964	0.0258	0.0536	0.922	0.0573	0.0798	0.994	0.0039	0.0209	0.925	0.0663	0.0815	0/3						
0.979	0.0279	0.0619	0.938	0.0444	0.0796	0.995	0.0034	0.0221	0.944	0.0529	0.0862	0/5			49			
0.984	0.0100	0.0466	0.967	0.0204	0.0639	0.978	0.0044	0.0298	0.933	0.0216	0.0512	0/7						
0.982	0.0123	0.0420	0.962	0.0271	0.0622	0.909	0.0054	0.0279	0.927	0.0294	0.0541	1						

جدول ۲ (ادامه) مقایسه میزان برآذش داده‌های تجربی خشک کردن دانه‌های انار در شرایط مختلف شدت تابش IR و سرعت جریان هوا برای مدل‌های نیمه تجربی

میدلی و همکاران				ورما و همکاران				تقریب پخش				نام مدل	شدت تابش IR (W cm $^{-2}$)	سرعت باد (m s $^{-1}$)		
R 2	χ^2	RMSE	R 2	χ^2	RMSE	R 2	χ^2	RMSE	R 2	χ^2	RMSE	R 2	χ^2	RMSE	شدت تابش IR (W cm $^{-2}$)	سرعت باد (m s $^{-1}$)
0.997	0.00048	0.0220	0.997	0.0017	0.0167	0.997	0.0017	0.0167	0.997	0.0017	0.0167	0/3				
0.999	0.0000544	0.0074	0.998	0.00078	0.0116	0.998	0.000787	0.0116	0.998	0.000787	0.0116	0/5			22	
0.9992	0.0001009	0.0130	0.999	0.00033	0.0065	0.999	0.000335	0.0065	0.999	0.000335	0.0065	0/7				
0.999	0.00000291	0.0027	0.994	0.00056	0.0249	0.994	0.00056	0.0249	0.994	0.00056	0.0249	1				
0.999	0.0000054	0.007381	0.998	0.000787	0.0110	0.998	0.000787	0.0110	0.998	0.000787	0.0110	0/3				
0.9999	0.000156	0.011418	0.999	0.000541	0.0088	0.999	0.000541	0.0088	0.999	0.000541	0.0088	0/5			31	
0.9999	0.00013	0.011748	0.999	0.00053	0.0087	0.999	0.00053	0.0087	0.999	0.00053	0.0087	0/7				
0.998	0.0001568	0.0140	0.999	0.000481	0.0078	0.999	0.000481	0.0078	0.999	0.000481	0.0078	1				
0.998	0.000195	0.01182	0.9985	0.0011	0.0119	0.998	0.0011	0.0119	0.998	0.0011	0.0119	0/3				
0.999	0.000058	0.006025	0.998	0.0007	0.0113	0.998	0.0007	0.0113	0.998	0.0007	0.0113	0/5				
0.997	0.000030	0.0046	0.999	0.000109	0.0063	0.999	0.000109	0.0063	0.999	0.000109	0.0063	0/7			49	
0.999	0.00012	0.0113	0.998	0.0011	0.0134	0.998	0.0011	0.0134	0.998	0.0011	0.0134	1				

نمایش داده شده است. رابطه ۱۳ یک رابطه رگرسیونی با $R^2=0.97$ بین زمان خشکشدن، شدت تابش IR و سرعت هوا

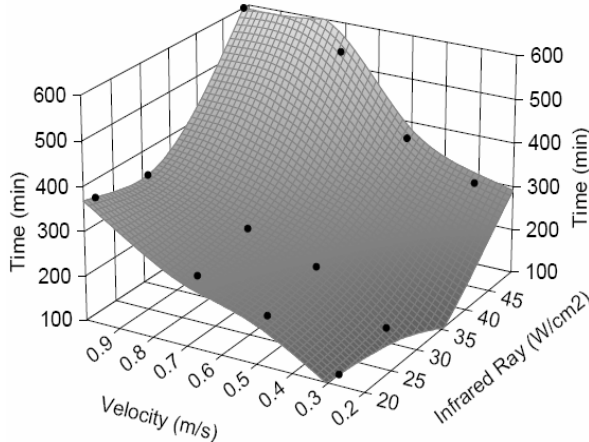
در شکل ۲ با استفاده از تحلیل رگرسیونی چند متغیره، ارتباط همزمان زمان خشکشدن، شدت تابش IR و سرعت هوا

در این رابطه، زمان خشک شدن (دقیقه)، T شدت تابش پرتو فروسرخ (وات بر سانتی متر مربع) و V سرعت جريان هوا (متر بر ثانیه) می‌باشد.

باد را نشان می‌دهد. با استفاده از این رابطه می‌توان زمان خشک شدن را بر حسب دو متغیر شدت تابش IR و سرعت جريان هوا محاسبه نمود.

ضریب انتشار رطوبت

مقادیر مختلف میزان ضریب موثر پخش در جدول ۳ آمده است. با افزایش شدت تابش پرتو فروسرخ و کاهش سرعت جريان هوا، آهنگ تبخر به علت کاهش خنک شدگی دانه انار افزایش یافته و به دنبال آن میزان ضریب نفوذ نیز افزایش می‌یابد. بیشترین مقدار ضریب انتشار موثر رطوبت برای دانه‌های انار به میزان $3/21 \times 10^{-9}$ (متر مربع بر ثانیه) در بالاترین شدت تابش پرتو فروسرخ (۴۹ وات بر سانتی متر مربع) و پایین‌ترین سرعت هوا ($0/3$ متر بر ثانیه) و کمترین مقدار ضریب انتشار موثر رطوبت به میزان $0/40 \times 10^{-9}$ (متر مربع بر ثانیه) در پایین‌ترین شدت تابش (۲۲ وات بر سانتی متر مربع) و بالاترین سرعت هوا (1 متر بر ثانیه) می‌باشد.



شکل ۲ تغییرات زمان خشک شدن دانه انار با شدت تابش فروسرخ و سرعت هوا

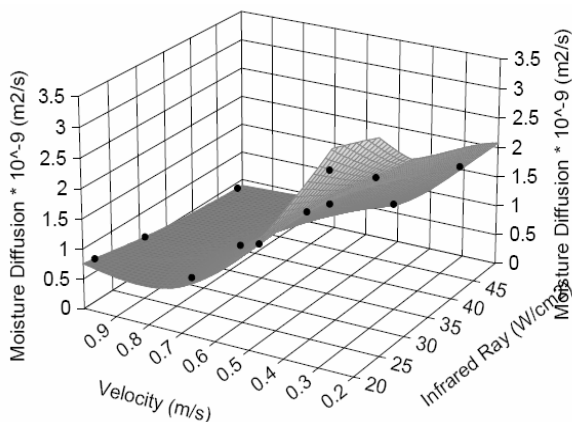
$$\begin{aligned} Time &= 229/55R + 0.38R^2 - 488/84V - 19670V^2 + 4/21R \times V \\ R^2 &= 0.97 \end{aligned} \quad (13)$$

جدول ۳ مقادیر ضریب انتشار موثر رطوبت و ضریب تعیین مدل خطی برای مقادیر شدت تابش فروسرخ و سرعت هوا در خشک کردن دانه‌های انار

شدت تابش (W cm⁻²)						
۴۹	۳۱	۲۲				
$D_{eff} \times 10^{-9}$	R^2	$D_{eff} \times 10^{-9}$	R^2	$D_{eff} \times 10^{-9}$	R^2	سرعت باد (m s⁻¹)
۱/۶۱	۰/۹۲	۲/۴۱	۰/۹۲	۳/۲۱	۰/۹۸	۰/۳
۰/۷۲	۰/۹۰	۱/۶۱	۰/۹۵	۱/۶۱	۰/۹۹	۰/۵
۰/۴۸	۰/۸۶	۰/۸	۰/۸۸	۰/۸	۰/۹۵	۰/۷
۰/۴	۰/۸۸	۰/۵۶	۰/۹۵	۰/۷۲	۰/۸۷	۱

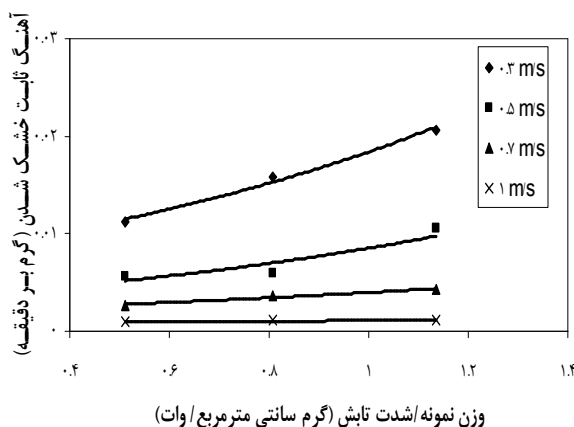
عامل، ضرایب پخش موثر رطوبتی متفاوتی بدست آمد. با افزایش شدت تابش، دمای دانه‌های انار بالا رفته و با کاهش سرعت هوا شدت خنک شدن سطح دانه‌های انار کاهش می‌یابد. با توجه به جدول ۳ مشاهده می‌شود که با افزایش شدت تابش اشعه مادون قرمز و کاهش سرعت جريان هوا در فرآیند خشک کردن دانه‌های انار، ضریب انتشار موثر رطوبت، یک روند افزایشی دارد. افزایش شدت تابش سبب افزایش گرادیان

با توجه به اینکه ضریب انتشار موثر رطوبت به دما و ترکیب مواد بستگی دارد [۲۶] و نظر به اینکه در پژوهش حاضر ترکیب دانه‌های انار در آزمایش‌ها ثابت بود لذا دلیل اصلی تغییر میزان ضریب انتشار موثر رطوبت در شرایط مختلف خشک کردن مربوط به دمای‌های مختلف اعمال شده می‌باشد. همچنین دما وابسته به شدت تابش پرتو فروسرخ و سرعت جريان هوا می‌باشد که در نسبت‌های مختلف ترکیب این دو



شکل ۳ تغییرات ضریب انتشار رطوبت دانه انار با شدت تابش فروسرخ و سرعت هوا

در روش دوم برای بدست آوردن انرژی فعال سازی، مقادیر ضریب انتشار موثر رطوبت (جدول ۳) در مقابل (گرم سانتی متر مربع بر وات) در محیط نرم‌افزار MATLAB رسم گردید و با استفاده از مدل دادالی و همکاران (رابطه ۱۲) بر داده‌های رسم شده (شکل ۵) مقدار انرژی فعال‌سازی را تعیین گردید. مقدار انرژی فعال سازی در روش دوم برای دانه‌های انار ۰/۷۲ تا ۱/۱ وات بر گرم سانتی متر مربع بدست آمد.



شکل ۴ انرژی فعال‌سازی محاسبه شده با استفاده از آهنگ ثابت خشکشدن در مقابل مقابله وزن نمونه به شدت تابش رابطه بین انرژی فعال سازی در حالت اول و حالت دوم در شکل (۶) نشان داده شده است. ضریب تعیین (R^2) برای ارتباط بین داده‌ها در شکل زیر ۰/۹۸ بدست آمد که نشان می‌دهد مقادیر انرژی فعال سازی بدست آمده از دو روش بسیار نزدیک می‌باشد.

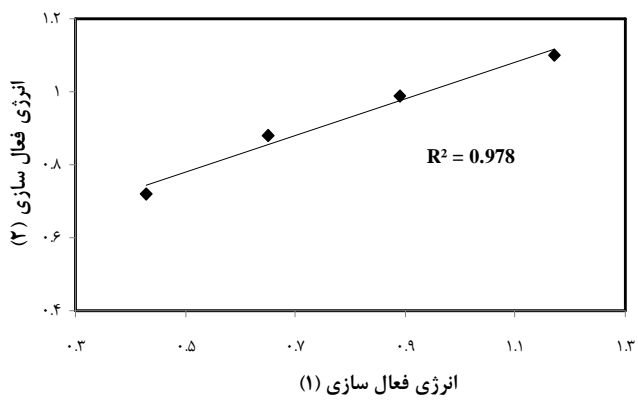
حرارتی در محصول در حال خشک شدن می‌گردد و سرعت خارج شدن جریان رطوبت داخل محصول را افزایش می‌دهد. همچنین کاهش سرعت هوانیز با کاهش دادن اثر خنک کنندگی جریان هوا در این روش، باعث افزایش ضریب انتشار داخل محصول می‌گردد. به همین دلیل بیشترین مقدار ضریب انتشار در بیشترین شدت تابش و کمترین سرعت هوا روی می‌دهد. نتایج بدست آمده مشابه یافته‌های سایر پژوهشگران است [۲۷ و ۲۸].

با استفاده از تحلیل رگرسیونی چند متغیره، ارتباط همزمان ضریب پخش موثر، شدت تابش IR و سرعت جریان هوا بدست آمد (شکل ۳). رابطه ۱۴ معادله ضریب پخش موثر را بر حسب شدت تابش (R) و سرعت جریان هوا (V) را نشان می‌دهد.

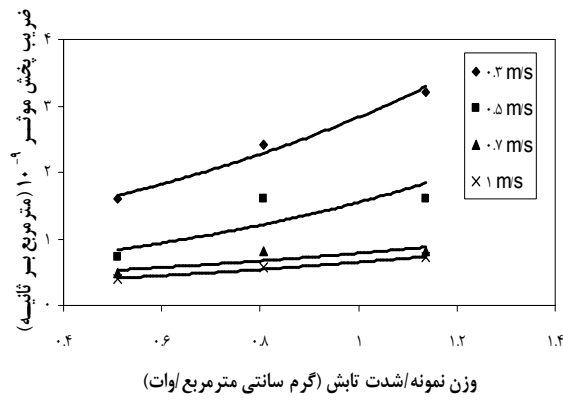
$$D_{\text{eff}} = 750000 \cdot R^{0.00033} \cdot V^{1.179} + 525V^2 + 0.05R \times V \quad R^2 = 0.98 \quad (14)$$

انرژی فعال‌سازی

با رسم نمودار آهنگ ثابت خشک شدن در مقابل وزن نمونه به شدت تابش، انرژی فعال سازی و (k_0) از رابطه (۱۱) بدست آمد. از آنجا که مدل میدلی بهترین برآورد را بر داده‌های آزمایشگاهی داشت (جدول ۲) و با توجه به ضرایب شدت تابش، آهنگ ثابت خشک شدن K افزایش یافت. با استفاده از آنالیز آماری و با رسم نمودار آهنگ ثابت خشکشدن در برابر وزن نمونه/ شدت تابش و با بکارگیری مدل دادالی و همکاران در محیط نرم‌افزار MATLAB و برآش آن بر داده‌های رسم شده (شکل ۴) مقدار انرژی فعال‌سازی برای دانه‌های انار ۰/۱۷ تا ۱/۱۷ وات بر گرم سانتی متر مربع بدست آمد.



شکل ۶ ارتباط بین مقادیر انرژی فعال سازی در حالت اول و حالت دوم



شکل ۵ انرژی فعال سازی محاسبه شده با استفاده از ضریب موثر انتشار رطوبت در مقابل وزن نمونه به شدت تابش

۵- منابع

- [1] Umesh Hebber, H., Vishwanathan, K. H. and Ramesh, M. N. 2004. Development of combined infrared and hot air dryer for vegetables. *Journal of Food Engineering*. 65: 557-563.
- [2] Nowak, D. and Lewicki, P. 2004. Infrared drying of apple slices. *Innovation Food Science and Emerging Technologies*. 5: 353-360.
- [3] Timoumi, S., Mihoubi, D. and Zagrouba, F. 2007. Shrinkage, vitamin C degradation and aroma losses during infra-red drying of apple slices. *LWT*. 40:1648-1654.
- [4] Henderson, S.M., R.L. Perry, and J.H. Young. 1997. *Principles of Process Engineering*. American Society of Agriculture Engineers (ASAE). (4th ed.). ASAE Publisher.
- [5] Nonhebel, G. 1973. *Drying of solids in the chemical industry*. Butterworth and Co. LTD. England.
- [6] Sharma, G. P., Verma, R. C. and Pathare, P. B. 2004. Thin-layer infrared radiation drying of onion slices. *Journal of Food Engineering*. 67: 361-366.
- [7] Afzal, T. M. and Abe, T. 1998. Diffusion in potato during far infrared radiation drying. *Journal of Food Engineering*. 37(4): 353-365.
- [8] Das, I., Das, S. K. and Bal, S. 2004. Specific energy and quality aspects of infrared (IR) dried parboiled rice. *Journal of Food Engineering*. 68: 249-255.
- [9] Celma, A. R., Rojas, S., Lopez, F., Montero, I. and Miranda, T. 2007. Thin-layer drying behavior of sludge of olive oil

۶- نتیجه گیری

بر اساس رفتار خشک شدن دانه های انار به صورت لایه نازک در در سه شدت تابش فرو سرخ (۲۱، ۲۲ و ۴۹ وات بر سانتی متر مربع) و چهار سطح سرعت جريان هوا (۰/۳، ۰/۵، ۰/۷ و ۱ متر بر ثانیه) مشخص شد که فرآيند خشک شدن دانه های انار در مرحله نزولي روی می دهد. يافته ها حاکی است که شدت تابش و سرعت هوا در خشک کن فروسرخ عامل مهمی در زمان خشک شدن دانه های انار و ثابت های مدل میدیلی بود. نتایج بدست آمده نشان داد که مدل میدیلی بهترین برآنش را بر داده های آزمایش داشت. با افزایش سرعت هوا، زمان خشک شدن روند افزایشی و با افزایش شدت تابش، زمان خشک شدن روند کاهشی داشت. ضریب موثر انتشار رطوبت نیز در خشک کردن دانه های انار، با افزایش شدت تابش فروسرخ و کاهش سرعت هوا افزایش یافت. کمینه ضریب انتشار رطوبت 4×10^{-9} متر مربع بر ثانیه در سرعت هوا ۱ متر بر ثانیه و شدت تابش ۴۹ وات بر سانتی متر مربع و بیشترین مقدار آن $3/21 \times 10^{-9}$ متر مربع بر ثانیه در سرعت هوا $0/3$ متر بر ثانیه و شدت تابش ۲۲ وات بر سانتی متر مربع تعیین گردید. انرژی فعال سازی در خشک کردن فروسرخ به دو روش محاسبه شد و مقادیر بدست آمده از ۲ روش به یکدیگر نزدیک بودند. مقادیر انرژی فعال سازی در روش اول بین (۰/۴۳ تا ۱/۱۷) وات بر گرم سانتی متر مربع و در روش دوم بین (۰/۰۷۲ تا ۱/۱) وات بر گرم سانتی متر مربع بدست آمد.

- [19] Togrul, I.T. and Pehlivan, D. 2004. Modelling of thin-layer drying kinetics of some fruits under open-air sun drying process. *Journal of Food Engineering*. 65(3): 413–425.
- [20] Verma, L. R., Bucklin, R. A., Endan, J. B., and Wratten, F. T. 1985. Effects of drying air parameters on rice drying models. *Transactions of the ASAE*. 28: 296–301.
- [21] Menges, H. O and C. Ertekin. 2005. Mathematical modeling of thin layer drying of golden apples. *Journal of Food Engineering*. 77: 119–125.
- [22] Mohsenin, N. 1996. Physical Characteristics: Physical Properties of Plant and Animal Materials. New York, Gordon and Breach Science Publisher.
- [23] Crank, J. 2001. Mathematics of Diffusion (2nd ed.) London: Oxford University Press.
- [24] Aghbashlo, M., Kianmehr, M. and Samimi-Akhijahani, H. 2008. Influence of drying conditions on the effective moisture diffusivity, energy of activation and energy consumption during the thin-layer drying of berberis fruit (Berberidaceae). *Energy Conversion and Management*. 49: 2865–2871.
- [25] Dadali, G., Apar, D. K. and Ozbek, B. 2007a. Microwave drying kinetics of okra. *Drying Technology*, 25 (5): 917 – 924.
- [26] Rizvi, S. S. H. 2005. Thermodynamic properties of foods in dehydration. Third Edition. Taylor and Francis Publisher.
- [27] Shin Kim, S. and Bhowmik, R. S. 1995. Effective moisture diffusivity of plain yoghurt undergoing microwave vacuum drying. *Journal of Food Engineering*. 24: 137–148.
- [28] Sharma, G. P. and Prasad, S. 2004. Effective moisture diffusivity of garlic cloves undergoing microwave- convective drying. *Journal of Food Engineering*. 65: 609–617.
- extraction. *Journal of Food Engineering*, 80: 1261–1271.
- [10] Pan, Z., Khir, R., Godfrey, L. D., Lewis, R., Thompson, J. F. and Salim, A. 2008. Feasibility of simultaneous rough rice and disinfestations by infrared radiation heating and rice milling quality. *Journal of Food Engineering*. 84: 469–479.
- [11] Mohajeran, S.H. 2003. Fabrication of infrared dryer for rice drying. M. Sc. Thesis. Faculty of Agriculture. Tarbiat Modares University. Tehran. Iran. (in Farsi).
- [12] Shahrestani, N. 1998. Berberis Fruits. Publication of Gilan University. (in Farsi).
- [13] Doymaz, I. 2005. Influence of pretreatment solution on the drying of sour-cherry. *Journal of Food Engineering*. 78:591–6.
- [14] Akpinar, E., Midilli, A. and Bicer, Y. 2003. Single layer drying behavior of potato slices in a convective cyclone and mathematical modeling. *Journal Energy Conversion and Management*. 44: 1689–1705.
- [15] Babalis, S. J., Papaniclaou, E., Kyriakis, N. and Belessiotis, V.G. 2005. Evaluation of thin-layer drying models for describing drying kinetics of figs (*Ficus Carica*). *Journal of Food Engineering*. 75: 205–214.
- [16] Lewis, W. K. 1921. The rate of drying of solid materials. *Ind. Engineering Chemistry*. 13: 427–432.
- [17] Lahsasni, S., Kouhila, M., Mahroz, M., Aitmahmamad, L. and Agoram, B. 2004. Characteristic drying curve and mathematical modeling of thin-layer solar drying of Prickly pear cladode (*opuntia ficus indica*). *Journal of Food Process Engineering*. 27(2): 103–117.
- [18] Page, G. E. 1949. Factors influencing the maximum rates of air drying shelled corn in thin layers. M. Sc. Thesis, Purdue University.

Mathematical Modeling of Drying Pomegranate Arils in Infrared Dryer

Khosthagaza, M. H.^{1*}, A. Motevali², S. Minaei¹, A. Abbaszadeh³

1. Department of Biosystems Engineering Tarbiat Modares University, Tehran, Iran.
2. Department of Biosystems Engineering, Agriculture Science & Natural Resources University, Sari, Iran.
3. Department of Biosystems Engineering, Gorgan Agriculture Science and Natural Resources University, Gorgan, Iran

In this study, pomegranate arils were dried by infrared dryer to find a suitable mathematical model, effective moisture diffusion coefficient and activation energy. The experiments were performed at four air velocity levels ($0.3, 0.5, 0.7$ and 1 ms^{-1}) and three infrared radiation levels ($22, 31$ and 49 W cm^{-2}). Experimental data with semi-theoretical and empirical models were evaluated to find the best model. Among the models, Midili's Model was selected based on R^2 , χ^2 and RMSE criteria. Effective diffusion coefficient of pomegranate arils was in the range of 0.4×10^{-9} to $3.21 \times 10^{-9} \text{ m}^2 \text{ s}^{-1}$. Activation energy was calculated by using Arheneus exponential model. The values of activation energy were determined in first method between 0.43 to $1.17 \text{ W g}^{-1} \text{ cm}^{-1}$ and second method between 1.1 to $0.72 \text{ W g}^{-1} \text{ cm}^{-1}$.

Keywords: Drying Kinetic, Effective Diffusion Coefficient, Activation Energy, Pomegranate Arils

*Corresponding Author E-Mail Address: khoshtag@modares.ac.ir